

# Poladın korroziyasına keçirici polimer örtüklərin təsiri

R.M. Həsənzadə<sup>1</sup>,S.K. Bilgic, k.e.d.<sup>2</sup><sup>1</sup>"Neftqazelmətdiqiqatlayihə" İnstitutu,<sup>2</sup>Ankara Universiteti

e-mail: hasanzade.r@bk.ru

**Açar sözlər:** keçirici polimer örtüklər, sulfat turşusu, quzuqlağı turşusu, korroziya.

## Влияние электропроводящих полимерных покрытий на коррозию стали

Р.М. Гасанзаде<sup>1</sup>, С.К. Билгич, д.х.н<sup>2</sup><sup>1</sup>НИПИнефтехаз,<sup>2</sup>Анкаринский университет

**Ключевые слова:** электропроводящие полимерные покрытия, серная кислота, щавелевая кислота, коррозия.

Исследованы однослойные покрытия полипиррола (PPY) и поланилина (PANI), которые были сформированы на стальной поверхности путем электрополимеризации в растворе, состоящем из 0.1 М мономера и 0.3 М щавелевой кислоты, на коррозию низкоуглеродистой стали в 1 М сернокислой среде. Плотность коррозионного тока стальных электродов, покрытых однослойными полимерными покрытиями, становилась больше с увеличением времени погружения, однако через 180 мин. оказалась ниже в сравнении с плотностью тока стали без покрытия. Согласно экспериментальным результатам, делается вывод о том, что для предотвращения образования стали в 1 М сернокислой среде, однослойные покрытия обладают лучшей эффективностью ингибирования.

В 1 М сернокислой среде знак потенциала стального электрода, покрытого PPY, приближается к отрицательному, а стального электрода, покрытого PANI – к положительному. В этой же среде через 180 мин. после погружения эффективность стали, покрытой PPY, составила 46.6 %, а стали, покрытой PANI 35.4 %.

## Influence of electrically conductive polymer coatings on steel corrosion

R.M. Hasanzadeh<sup>1</sup>, S.K. Bilgic<sup>2</sup>, Dr.Sc. in Ch.<sup>1</sup>"Oil Gas Scientific Research Project" Institute,<sup>2</sup>Ankara University

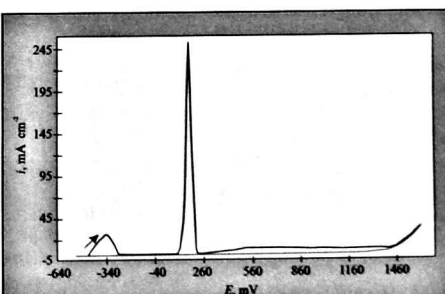
**Keywords:** electrically conductive polymer coatings, sulfur medium, oxalic acid, corrosion.

The paper studies the influence of one-layer polypyrrole (PPY) and polyaniline (PANI) coatings formed on steel surface via electropolymerization in solution consisting of 0.1 M monomer and 0.3 M of oxalic acid on corrosion of low-carbon steel. The density of corrosion current of steel electrodes covered with one-layer polymeric coatings rises by increasing of submergence time; however, after 180 minutes it turned out to be lower than the density of steel without coating. According to the experimental results, it is concluded that for prevention of steel formation in 1 M sulfuric medium, one-layer coatings have better inhibiting efficiency.

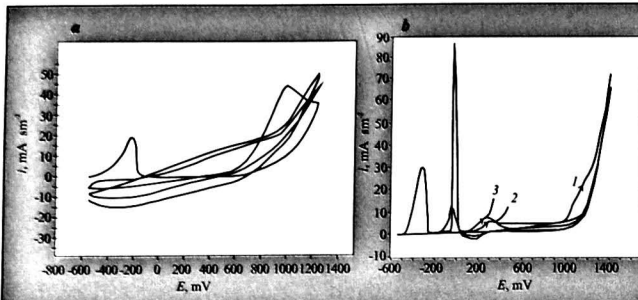
In 1 M sulfuric medium, the sign of steel electrode potential covered with PPY is negative, and the sign of that with PANI turned to positive. In this medium after 180 minutes from submergence, the efficiency of steel with PPY is equal to 46.6 %, and of steel with PANI comprised 35.4 %.

Metal və ərintilərin polimerlərlə örtülməsi üçün elektropolimerlaşmə prosesinin potensialı metal və ərintinin həllolma potensialından aşağı olmalıdır. Hər bir metal və ərintinin passivlik xüsusiyyəti temperatur, pH və potensiala bağlıdır. Polimerlərlə hazırlanan birləşmələr örtüklərin korroziyadan mühafizədə təsirli olduqları məlumdur. Tərkibində  $\pi$ -rabitəsi olan və ya ikiqat rabitə əmələ gətirən polimerlər yaxşı keçiricilik göstərir [1–5].

Tədqiqatda polad nümunəsi səthinə keçirici polimer olan polipirrol (PPY) və polianilin (PANI) [4, 5] elektrokimiyəvi sintez ilə təbəqə şəklində örtülmüşdür. PPY örtüyü üçün 0.1 M pirol (PY)<sup>+</sup> + 0.3 M quzuqlağı turşusu (QT) mühitində tədqiqat aparılmışdır. PANI örtüyü üçün PPY örtüyündə istifadə olunan PY-un qatılığı ilə eyni qatılıqlıda anilindən (ANİ) istifadə edilərək, 0.3 M QT mühitində dopinq edilmişdir. Bu yolla polad elektrodun səthi PANI təbəqəsi ilə örtülmüşdür. 1 M  $H_2SO_4$  məhlulunda PPY və PANI örtülmüş və örtülməmiş polad elektrodlarının korroziya parametrləri müqayisə edilmişdir. Korroziya ölçmələri üçün Tafel ekstrapolasiya üsulu tətbiq edilmişdir.



Şəkil 1. 0.3 M QT məhlulunda az karbonlu poladın passivlik sahəsinin cərəyan sıxlığı-potensial asılılığı



Şəkil 2. a - 0.3 M QT + 0.1 M PY məhlulunda polad səthinə PPY-un elektroçökəməsi (ilək 3 tsikl), b - 0.3 M QT + 0.1 M ANİ məhlulunda polad səthinə PANİ-nin elektroçökəməsi (ilək 3 tsikl)

Bu mühitdə tarazlıq potensialından etibarən anod istiqamətdə əldə edilən cərəyan sıxlığı-potensial qrafikində göründüyü kimi polad 540-dan 200 mV-a qədər aktiv sahədə, 200-dən 1400 mV-a qədər passiv sahədə olmaqla passivlik göstərir. Tsiklik asılılığından göründüyü kimi irəli istiqamətdə potensial dəyişdirilərkən 350 mV-da oksidləşmə-passivlaşmə piki, geri dönüsədə isə 160 mV-da təkrar passivlaşmə piki ortaya çıxır (Şəkil 1).

Bundan sonra passiv sahə bilindiyi üçün o sahədə tədqiqatlar aparılmışdır. Polad üzərinə ayri-ayrılıqda hər dəfə 0.3 M QT və örtülməsi istənilən polimerin 0.1 M monomerinin məhlulundan istifadə edərək təbəqə kimi PPY və PANİ ilə örtülmüşdür (Şəkil 2).

PPY və PANİ örtülmüş polad elektrudun 1 M  $H_2SO_4$  məhlulundan 3 saatlıq batırılma müddətinə qədər əldə edilən cərəyan-potensial əyrilərindən çıxarılan anod Tafel əyriləri qurulmuşdur (Şəkil 3).

Cədvəldə təcrübənin nöticələri verilmişdir. Cədvəldəki  $E_{kor}$  – korroziya sisteminde metalin elektrud potensialı,  $b$  – anod Tafel əyrisinin mailliyyi,  $i_{kor}$  – korroziya cərəyan sıxlığı və  $\eta$  – inhibitorluq effektivliyini göstərir. İnhibitorluq effektivliyi aşağıdakı tənliliklə hesablanmışdır:

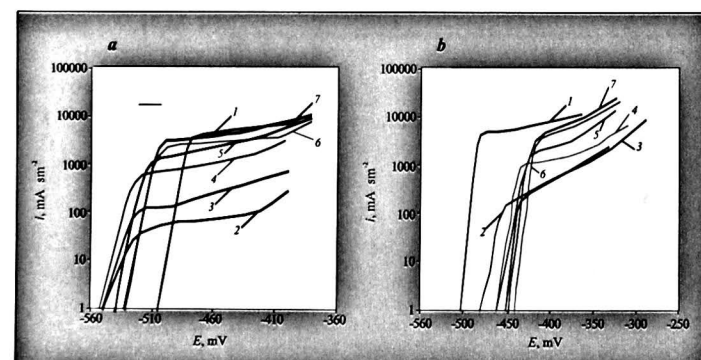
$$\eta(\%) = \left( \frac{i_0 - i}{i_0} \right) \cdot 100$$

Şəkil 3. a - 1 M  $H_2SO_4$  məhlulundan (7) örtülməmiş və müxtəlif batırılma müddətlərində PPY örtülmüş poladin anod Tafel əyriləri: batırıldıqdan (2) dərhal sonra, (3) 10 dəq., (4) 50 dəq., (5) 100 dəq., (6) 150 dəq., (7) 180 dəq. sonra; b - 1 M  $H_2SO_4$  məhlulundan (7) örtülməmiş və müxtəlif batırılma müddətlərində PANİ örtülmüş poladin anod Tafel əyriləri: (2) batırılmışdan dərhal sonra, batırılmışdan (3) 10 dəq., (4) 50 dəq., (5) 100 dəq., (6) 150 dəq., (7) 180 dəq. sonra.

yenə eyni mühitdəki korroziya cərəyan sıxlıqlarını göstərir.

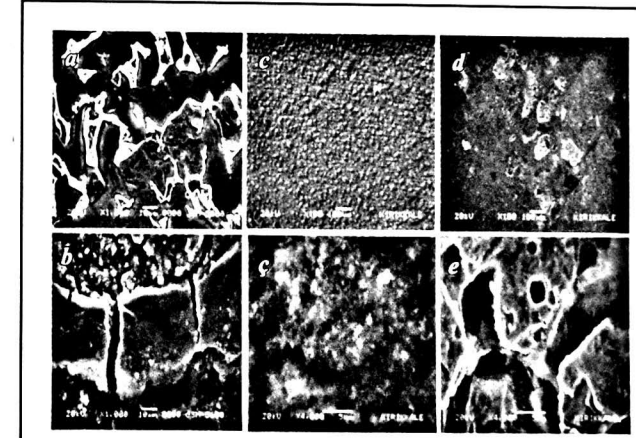
Cədvəldən göründüyü kimi,  $E_{kor}$  qiymətləri örtülməmiş polad halında -505 mV potensial qiymətində PPY örtülmüş poladda 10-cu və 50-ci dəqiqlirlər üçün sabit qalmış 100-cü dəqiqliqdə isə daha mənfi qiymətə sürüşmişdir. Anod Tafel pol yarlaşma əyrilərindən əldə edilən  $b_a$  qiymətləri arasında bir mütənasiblik görünür. Batırılmadan dərhal sonra korroziya cərəyan sıxlığı azalmışdır. 3 saatda qədər saxlanılan batırılmalarda səthdə PPY örtülmüş poladın korroziya cərəyan sıxlığı qiymətləri batırılma müddətindən asılı olaraq mütənasib artmışdır. Lakin cərəyan sıxlıqları örtülməmiş polada görə aşağıdır. Bu vəziyyət poladın zamanla  $H_2SO_4$  mühitindəki  $SO_4^{2-}$  və  $H^+$  ionlarının təsiri ilə korroziya məruz qaldığını göstərir. Batırılma müddətinin artmasıyla polimer örtüyün məsamələrindən ionlar səthdə korroziya məhsulları əmələ gətirir və bu məhsullar səthi örtərək korroziya sürətini azaldır. PPY örtülmüş polad turş mühitdə bir saatdan sonra səthindəki polimer örtüyün deformasiyaya məruz qalaraq zamanla keçiriciliyi artır və polad-polimer ara səthinə gələn ionların sayı artır. Batırılmanın daha sonrakı müddətlərində isə poladdakı Fe metalli ilə  $H^+$  ionu arasındaki reaksiya nəticəsində Fe metalli  $Fe^{2+}$  halında həll olur.

İşçi mühit olaraq seçdiyimiz 1 M  $H_2SO_4$  mühitindəki  $H^+$  qatılığı, həm suyun, həm də  $H_2SO_4$ -ün həll olmasından asılıdır.



Şəkil 2. a - 0.3 M QT + 0.1 M PY məhlulunda polad səthinə PPY-un elektroçökəməsi (ilək 3 tsikl), b - 0.3 M QT + 0.1 M ANİ məhlulunda polad səthinə PANİ-nin elektroçökəməsi (ilək 3 tsikl)

Elektrod	Batırılma müddəti, dəq.	$-E_{cor}$ , mV	$b_a$ , mV	$i_{cor}$ , mA $sm^{-2}$	$\eta$ , %
Ortülülməmiş polad	---	505	112	3930	---
	Dərhal sonra	550	70	40	99.0
	10	550	189	80	98.0
	50	550	227	500	87.3
	100	540	172	850	78.4
	150	530	415	1700	56.7
1 M $H_2SO_4$	180	530	245	2100	46.6
	Dərhal sonra	480	70	80	98.0
	10	460	101	100	97.5
	50	460	167	530	86.5
	100	450	133	1000	74.6
	150	440	154	1900	51.7
Polad/PANI	180	440	135	2500	36.4



Şəkil 4. Örtülməmiş poladın a - 1000 dəfə və 30 dəq. saxlanılaraq; b - 1000 dəfə, PANİ örtülmüş poladın 1 M  $H_2SO_4$  mühitində saxlanılmadan; c - 100 dəfə; ç - 4000 dəfə və 180 dəq. saxlanıldıqdan sonra; d - 100 dəfə; e - 4000 dəfə böyüdülmüş elektron mikroskopda alınmış şəkilləri

Şəkil 4-də poladın 1 M  $H_2SO_4$  mühitində saxlanılmadan və 30 dəq. saxlanılaraq fərqli böyütmədə SEM şəkilləri verilir. Polad 1 M  $H_2SO_4$  mühitində saxlanıldıqda səthində dəmir oksid və hidroksidləri olan korroziya məhsulları qat təşkil edir.

Həmçinin Şəkil 4-də PANİ örtülmüş poladda 1 M  $H_2SO_4$  mühitində saxlanılmadan və 180 dəq. saxlanılaraq fərqli böyütmə ilə SEM şəkilləri verilmişdir. Birqatlı polimer örtük nümunəsi kimi verilmiş SEM şəkilləri örtüyün korroziyaya davamlığını göstərir. Buna görə polad səthdə örtülmüş PANİ səthi tamamilə əshətədir və 4000 dəfə böyütmə halında belə məsamə yoxdur və 180 dəq. sonra 1 M  $H_2SO_4$  mühitində deformasiya və çuxurlar formalasır.

### Nəticə

Az karbonlu polad elektrudunun 0.3 M QT mühitində passivlik sahəsi öyrənilmiş və 200–1400 mV potensial qiymətlərində passiv olduğu təyin edilmişdir. Buna görə keçirici polimerlərin PPY və PANİ polad səthində elektroçökəməsi bu sahədə təbəqə örtük polimerlərlə PPY, PANİ aparanılmışdır. Polimer örtükdə mühit olaraq 0.3 M QT seçilmiş və tsiklik cərəyan sıxlığı-potensial asılılıqlar alınaraq illə tsikldə poladin aktiv sahəsində səthin passivlaşdırıcı, polimerlə örtüldüyü və sonrakı tsikllərdə aktivlik piki müşahidə olunmamışdır. Polimerin əmələ gəldiyi potensialda aktivlik sahəsində polimer birbaşa polad səthinə çökmiş

dür. Müəyyən olunmuşdur ki, 1 M  $H_2SO_4$  mühitində 180 dəqiqəlik batırılma müddətində PPY örtülmüş poladin 46.6 %, PANI örtülmüş poladin inhibitorluq effektivliyi isə 36.4 % təşkil edir. PPY örtüyün tək təbəqə örtüklər arasında ən yaxşı effektivlik göstərdiyi nticəsinə gelinmişdir.

1 M  $H_2SO_4$  mühitində gözləmədən (salıb bir-

başa təcrübə apararaq) və müxtəlif müddətlər də gözləyərək örtülməmiş poladin mikroquruluş görüntüsündə poladin korroziyaya məruz qaldığı müşahidə olunur. Tək təbəqə keçirici polimer örtülmüş poladla örtülməmiş polad müqayisə edildikdə tək təbəqə polimer örtük səthi daha az korroziyaya uğrayır.

#### Ədəbiyyat siyahısı

1. Андреев И.Н. Введение в коррозиологию. – Казань: Изд-во Казанского государственного технологического университета, 2004, 140 с.
2. Жарский И.М., Иванова Н.П., Куис Д.В., Свидунович Н.А. Коррозия и защита металлических конструкций и оборудования. – Минск: Высшая школа, 2012, 303 с.
3. Медведева М.Л., Мурадов А.В., Пригаев А.К. Коррозия и защита магистральных трубопроводов и резервуаров. – М.: Изд-во РГУ нефти и газа имени И.М. Губкина, 2013, 250 с.
4. Klimartin, P.A., Trier L., Wright, G.A. Corrosion inhibition of polyaniline and poly(o-methoxyaniline) on stainless steels // Synthetic Metals, 2002, 131(1-3); pp. 99-109.
5. Cruz J., Martinez R., Genesca J., Garcia-Ochoa E. Experimental and theoretical study of 1-(2-ethylamino)-2-methylimidazoline as an inhibitor of carbon steel corrosion in acid media // Journal of Electroanalytical chemistry, 2004, 556; pp. 111-121.